

УДК 621.315.392

© 1990

**ОЦЕНКА ВЕЛИЧИНЫ
СТАТИЧЕСКОГО ИСКАЖЕНИЯ И НЕЛИНЕЙНОСТИ
ЯН-ТЕЛЛЕРОВСКОГО ВЗАИМОДЕЙСТВИЯ
ДЛЯ ГЛУБОКОГО ЦЕНТРА CuGa В GaAs**

*Н. С. Аверкиев, А. А. Гуткин, Е. Б. Осипов,
В. Е. Седов, А. Ф. Цацульников*

Проанализирована экспериментальная зависимость характеристического времени переориентации τ ян-тэллеровского тетрагонального комплекса Cu_{0.4}As от деформации ϵ_1 при давлении P вдоль оси [100]. Показано, что при температуре 2 К и $\epsilon_1 < 10^{-3}$ переориентация происходит путем туннелирования под барьером, разделяющим состояния, которые соответствуют трем возможным ориентациям комплекса. Экспериментальная кривая $\tau = \tau(\epsilon_1)$ аппроксимирована расчетной в модели, рассматривающей туннелирование в адиабатических потенциалах, учитывающих линейное и квадратичное взаимодействия связанных дырок с E -колебаниями комплекса и обменное взаимодействие дырок. На основании результатов этой аппроксимации и данных других пьезооптических экспериментов определены параметры адиабатических потенциалов центра. Статическое смещение атомов As в комплексе Cu_{0.4}As из узлов решетки составляет ~ 0.15 Å, высота барьера между эквивалентными ориентациями при $P=0$ приблизительно равна 10 мэВ, энергия ян-тэллеровской стабилизации лежит в диапазоне 10–16 мэВ.

Согласно результатам исследований [1–3], центр Cu в GaAs с уровнем, лежащим на 0.15 эВ выше v -зоны, представляет собой нейтральный акцептор Cu_{0.4}, который связывает две дырки, взаимодействующие с E -модой колебаний комплекса Cu_{0.4}As. Благодаря этому взаимодействию комплекс обладает тетрагональной симметрией, т. е. искажен вдоль одной из осей ⟨100⟩ (эффект Яна–Тэллера) и в каждый момент времени имеет определенную ориентацию. Недавние исследования [4] показали, что характеристическое время τ изменения этой ориентации при температуре 2 К сравнительно велико и составляет $\sim 10^{-4}$ с. Это указывает на существование барьера между эквивалентными конфигурациями центра, приводящего к статическому эффекту Яна–Тэллера.

В рамках существующей модели центра Cu_{0.4} [2] появление таких барьеров обусловлено нелинейностью взаимодействия связанных дырок с E -колебаниями. Ниже будет показано, что при гелиевых температурах переориентация комплекса Cu_{0.4}As осуществляется за счет туннельного эффекта. Поэтому ее вероятность сильно зависит от высоты и ширины потенциального барьера, которые в свою очередь определяются адиабатическими потенциалами (АП) центра и зависят от одноосной деформации, изменяющей эти потенциалы [2]. Указанные обстоятельства позволяют оценить параметры, определяющие АП центра Cu_{0.4} из экспериментальной зависимости τ от деформации ϵ_1 [4], несмотря на сложности, связанные с необходимостью учета линейного и нелинейного электрон-фононного взаимодействия.

Для решения этой задачи в настоящей работе при различных величинах деформации кристалла вдоль оси [100] произведен численный расчет формы АП центра в пространстве обобщенных координат Q_2 и Q_3 , связанных с E -модой локальных колебаний, и оценена вероятность туннелиро-

вания из одного минимума АП в другой. Параметры центра определялись путем аппроксимации экспериментальной зависимости $\tau = \tau(\epsilon_1)$ [4] расчетной с учетом данных других экспериментов.

1. Форма адиабатических потенциалов и вероятность переориентации центра

Нижний лист АП ян-теллеровского центра CuGa₄As в случае нагрузки вдоль осей [100] и [111] описывается выражением [2]

$$W_- = \frac{K\rho^2}{2} + \frac{3\Delta}{2} - \left[\frac{9\Delta^2}{4} + B'^2 \left(\frac{9}{4}\rho^2 + \frac{3B_T}{B'}\rho\epsilon_1 \cos\varphi - \frac{3\rho^3 B''}{B'} \cos 3\varphi + \right. \right. \\ \left. \left. + \frac{B_T^2}{B'^2}\epsilon_1^2 + \frac{B''^2}{B'^2}\rho^4 - \frac{2B_T B''}{B'^2}\epsilon_1\rho^2 \cos 2\varphi \right) + 3D_T^2\epsilon_3^2 \right]^{1/2}, \quad (1)$$

где $\rho = \sqrt{Q_2^2 + Q_3^2}$; $\varphi = \arctg(Q_3/Q_2)$; K — коэффициент упругости для E -колебаний; B' , B'' — коэффициенты перед линейным и квадратичным членами полинома, описывающего взаимодействие связанных дырок с E -колебаниями комплекса; B_T , D_T — константы деформационного потенциала центра CuGa₄As при одноосных нагрузках вдоль направления [100] и [111]; Δ — константа обменного взаимодействия связанных дырок; $\epsilon_1 = \epsilon_{xx} - (\epsilon_{yy} + \epsilon_{zz})/2$; $\epsilon_3 = \epsilon_{xy}$, где ϵ_{ik} — компоненты тензора деформации. Здесь и ниже предполагается, что $K > |2B''|$ и ось Q_2 проходит через один из минимумов АП, что соответствует $B'' < 0$, $B' > 0$. Кроме того, в (1) опущен член, описывающий общий сдвиг с деформацией всех ветвей АП в запрещенной зоне.

Энергия ян-теллеровской стабилизации $E_{\text{ят}}$, т. е. разница между энергиами в точке Q_2 , $Q_3=0$ и в минимуме АП, в случае, если $\Delta=0$, равна

$$E_{\text{ят}}^0 = \frac{9}{8} \frac{B'^2}{K - |2B''|}. \quad (2)$$

Из (2) видно, что величина $K - |2B''|$ может рассматриваться как эффективный коэффициент упругости.

При условии, что величина $E_{\text{ят}}$ заметно превосходит энергию нулевых колебаний центра E_0 и $E_{\text{ят}} \gg \Delta$, E_0 связана с параметрами центра следующим соотношением:

$$E_0 \approx \frac{\hbar}{2} \sqrt{\frac{K - |2B''|}{M}} \left(1 + \sqrt{\frac{|9B''|}{K - |2B''|}} \right), \quad (3)$$

где M — масса атомов, участвующих в колебаниях. При этом статическоеискажение комплекса CuGa₄As определяется радиусом ρ_0 , соответствующим положению минимума АП. Величина ρ_0 при нулевой нагрузке может быть найдена из уравнения

$$K \left[\frac{9}{4}\Delta^2 + B'^2\rho_0^2 \left(\frac{3}{2} - \frac{B''\rho_0}{B'} \right)^2 \right]^{1/2} = B'^2 \left(\frac{3}{2} - 2 \frac{B''\rho_0}{B'} \right) \left(\frac{3}{2} - \frac{B''\rho_0}{B'} \right). \quad (4)$$

Отсутствие искажений (комплекс CuGa₄As имеет симметрию T_d) соответствует $\rho_0=0$ и реализуется при $B'=0$.

Отметим, что, используя (1), мы ограничиваемся учетом линейного и квадратичного взаимодействий дырки с локальными колебаниями, поскольку это является простейшим приближением, которое приводит к существованию энергетических барьеров между эквивалентными конфигурациями центра. Поправки более высоких степеней по смещению атомов могут приводить к изменению формы барьеров, что не сильно сказывается на описывающих эксперимент значениях основных характеристик АП W_- (положение минимумов АП и эффективная высота барьера между ними).

Процесс переориентации центра, т. е. переход из одного минимума АП в другой, вообще говоря, может быть термоактивационным или туннельным. Расчеты показывают, что при $B_T = -3.1$ эВ [5] термоактивационный механизм в случае температуры 2 К приводит к значительно более резкому падению τ с увеличением ϵ_1 , чем наблюдается экспериментально. Поэтому можно считать, что переориентация связана с туннельными переходами. Частота этих переходов τ^{-1} в одномерном случае описывается выражением

$$\tau^{-1} = v_0 \exp \left\{ -\frac{2}{\hbar} \int_l \sqrt{[W_-(x) - W_-^*(\rho_0) - E_0]/M} dx \right\}, \quad (5)$$

где l — путь туннельного перехода; E_0 — энергия нулевых колебаний системы; $W_-^*(\rho_0)$ — энергия минимума АП для конфигурации, из которой

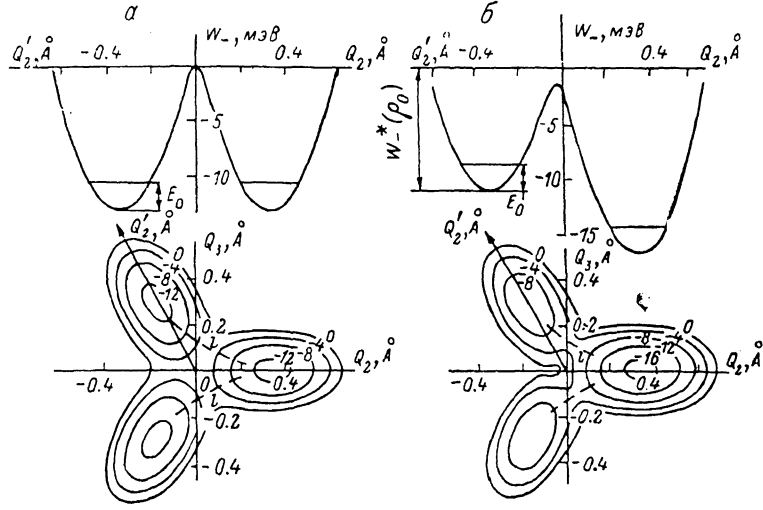


Рис. 1. Нижний лист адиабатического потенциала центра при $\epsilon_3=0$. $|\epsilon_1|=0$ (а) и 1.2×10^{-3} (б).

Вверху — сечения поверхности $W_-(Q_2, Q_3)$ плоскостями, проходящими через ось W_- и минимумы АП; внизу — распределение эквипотенциальных линий в плоскости Q_2, Q_3 . Цифры в разрыве линий указывают величину АП в мэВ, линия l — оптимальный путь туннелирования. Расчет АП выполнен при $B_T = -3.1$ эВ и величинах параметров B' , B'' , K , приведенных в таблице для $E_{ЯТ} = -16$ мэВ, $\Delta = 2$ мэВ.

происходит переход; v_0 — частота соударений системы со стенкой потенциальной ямы. При $\epsilon_1 \neq 0$ выражение (5) справедливо для переходов из конфигурации с большей энергией.

В рассматриваемой нами ситуации движение системы происходит в плоскости Q_2, Q_3 и, следовательно, туннелирование может осуществляться вдоль различных путей l . Однако в силу экспоненциального характера (5) можно ограничиться путями, для которых интеграл в (5) минимален. Поскольку в АП, описываемых (1), как показывают расчеты, минимальная высота барьера находится в точке Q_2, Q_3 , близкой к кратчайшему пути туннелирования (рис. 1), именно близкие к этому пути траектории и определяют частоту переходов.

2. Процедура аппроксимации экспериментальной зависимости и результаты вычислений

При аппроксимации экспериментальной кривой $\tau = \tau(\epsilon_1)$ выражением (5) необходимые для вычисления $W_-(Q_2, Q_3)$ параметры K, B' и B'' подбирались, а величины v_0 и M задавались. При этом интервал используемых значений v_0 составлял $10^{10} - 10^{12}$ с⁻¹. Верхний предел этого интервала близок к частоте, соответствующей энергии нулевых колебаний системы

~3 мэВ, которая хорошо согласуется с полученными путем дальнейшей аппроксимации величинами параметров системы. Нижний предел интервала учитывает возможное уменьшение предэкспоненциального множителя в (5) по сравнению с частотой колебаний системы из-за двумерности этих колебаний. Изменение величины ν_0 в приведенном выше диапазоне слабо изменяет значения параметров K , B' и B'' , описывающих экспериментальную кривую $\tau = \tau(\epsilon_1)$.

Масса колеблющейся системы M в простейшем случае, принимающем во внимание ближайшее окружение Cu₄, равна массе четырех атомов As. При этом все параметры, определяющие АП центра, имеют простой физический смысл, а величина ρ_0 описывает смещение равновесного положения четырех атомов As из узлов решетки [6].

Поскольку анализ результатов пьезоспектроскопических экспериментов позволяет оценить порядок $E_{\text{ЯТ}}^0$ и установить, что $\Delta \ll E_{\text{ЯТ}}^0$ [2], то при

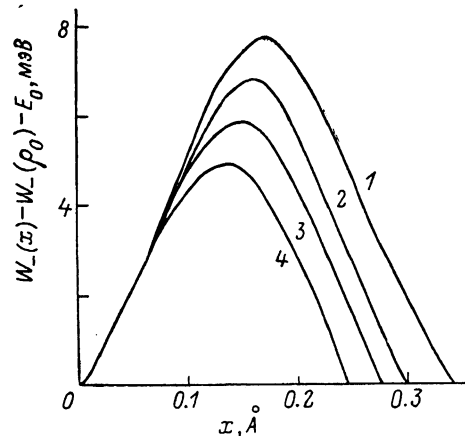


Рис. 2. Форма потенциального барьера для оптимального пути туннелирования при различных деформациях ϵ_1 . Координата x отсчитывается вдоль траектории l на рис. 1. Величины параметров, описывающих АП, те же, что и для рис. 1.

$|\epsilon_1| \cdot 10^4$: 1 — 0, 2 — 3.2, 3 — 6.5, 4 — 9.7. Координата x отсчитывается вдоль траектории l на рис. 1. Величины параметров, описывающих АП, те же, что и для рис. 1.

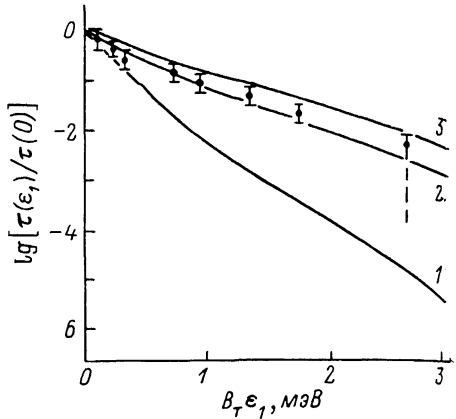


Рис. 3. Зависимость характеристического времени переориентации от величины внешней деформации.

Точки — эксперимент при 2 К; сплошные линии — расчет при $E_{\text{ЯТ}} = 16$ мэВ, $\Delta = 2$ мэВ, $M = 5 \cdot 10^{-22}$ г. $B' (10^8 \text{ эВ/см})$, $B'' (10^{15} \text{ эВ/см}^2)$, $K (10^{13} \text{ эВ/см}^2)$: 1 — 4.78, 0.2, 2.0, 6.31, 1.4, 11.2; 2 — 6.54, 20.0, 43.0.

аппроксимации экспериментальной зависимости $\tau = \tau(\epsilon_1)$ выражением (5) задавались величины $E_{\text{ЯТ}}^0$, Δ , B'' и K , а величины B' и E_0 вычислялись из (2), (3). Затем для различных значений деформации ϵ_1 определялись АП (выражение (1)), оптимальная траектория туннелирования и характеристическое время τ . Для получения наилучшего согласия расчета и эксперимента при заданных значениях $E_{\text{ЯТ}}^0$ и Δ варьировались величины B'' и K . Эта процедура повторялась для различных допустимых пар значений $E_{\text{ЯТ}}^0$ и Δ . На рис. 1 представлены типичные расчетные распределения энергии на нижнем листе АП W_- и оптимальные пути туннелирования для случаев нулевого давления и давления P вдоль оси [100], соответствующего $|\epsilon_1| = 1.2 \cdot 10^{-3}$. Нелинейность ян-теллеровского взаимодействия ($B'' \neq 0$) вызывает появление трех минимумов АП и гофрировку поверхности $W = f(Q_2, Q_3)$ (рис. 1). При $P \parallel [100]$ увеличение P уменьшает высоту и ширину барьера для оптимального пути туннелирования системы из минимумов с большей энергией в абсолютный минимум (рис. 2). С этим и связана зависимость τ от ϵ_1 .

Как показали вычисления, основанные на указанной выше процедуре, в рассматриваемой системе невозможно получить согласие расчетной и экспериментальной зависимостей $\tau(\epsilon_1)$ при $E_{\text{ЯТ}}^0 \leq 10$ мэВ. При этом оказывается, что τ с ростом $|\epsilon_1|$ падает быстрее, чем наблюдалось экспериментально. Причиной подобного резкого падения τ является малая высота барьера для оптимального пути туннелирования (которая, как

очевидно, не может сильно превышать $E_{\text{ят}} - E_0$) и следующая из этого обстоятельства большая длина этого пути, необходимая для обеспечения совпадения расчетной величины $\tau(\epsilon_1=0)$ с наблюдаемой.

Если $E_{\text{ят}}^0 > 10 \text{ мэВ}$, то согласие расчетной кривой $\tau = \tau(\epsilon_1)$ с экспериментальной, вообще говоря, может быть достигнуто при различных $E_{\text{ят}}^0$. Пример такой аппроксимации показан на рис. 3. Некоторые наборы значений параметров, удовлетворяющих экспериментальной зависимости $\tau(\epsilon_1)$ при различных $E_{\text{ят}}^0$ и Δ , приведены в таблице.

Отметим, что высота барьера для оптимального пути туннелирования и описываемая параметром ρ_0 величина статического искажения тетраэдрического комплекса при $E_{\text{ят}}^0 = -12 \div -30 \text{ мэВ}$ лежат в относительно узких интервалах. Причина этого заключается в том, что именно эти параметры определяют вероятность туннелирования и должны описывать экспериментальную кривую $\tau(\epsilon_1)$. Область допустимых значений $E_{\text{ят}}^0$ может быть установлена из других пьезоспектроскопических экспериментов, как обсуждено в следующем разделе.

3. Сопоставление с данными других экспериментов.

Обсуждение

1. Используем параметры, приведенные в таблице, для вычисления константы деформационного потенциала центра $\text{Cu}_8^0 D_4$ из пьезоспектроскопических характеристик фотолюминесценции при $P \parallel [111]$ [7].

Согласно [7, 8], сужение линии фотолюминесценции ян-теллеровского центра и резкое изменение ее положения [7] при достаточно большой деформации вдоль оси [111] обусловлены эффективным устранением взаимодействия с E -колебаниями (подавлением эффекта Яна—Теллера). Это означает, что абсолютный минимум нижней ветви АП центра смещается в точку $(Q_2, Q_3) = 0$. Как показывает анализ выражения (1), величина давления P_0 , соответствующая началу резкого сужения полосы фотолюминесценции (окончанию «скачка» в положении ее пика), связана с параметрами центра соотношением

экспериментальной зависимости $\tau = \tau(\epsilon_1)$ при $M = 4M_{\text{As}}$

$E_{\text{ят}}^0$ мэВ	Δ мэВ	$10^6 B' $ аэВ/см^2	$10^{15} B'' $ аэВ/см^2	$10^{15} K$ аэВ/см^2	$E_{\text{ят}}^0$ мэВ	ρ_0 , Å	E_0 , мэВ	V , мэВ	$ D_T $, эВ
12	0	4.4	1.6	5.0	12.0	0.37	2.3	9.4	6.9—8.6
	0	6.4	2.0	6.9	16.0	0.33	2.8	14.7	9.1—11.4
	2	6.3	1.4	5.6	13.0	0.34	2.6	10.3	9.3—11.6
	4	5.8	2.6	7.5	10.3	0.37	2.7	10.3	8.9—11.1
16	0	8.8	2.8	10.0	20.0	0.30	3.3	14.3	11.4—14.4
	4	7.8	2.0	7.5	14.0	0.33	2.9	12.5	11.4—14.1
	6	7.4	1.7	6.5	14.6	0.35	2.7	10.8	11.0—13.7
	0	13.4	1.14	9.0	30.0	0.30	3.1	12.2	20.2—25.3
20	4	13.4	1.2	9.2	24.2	0.30	3.1	11.9	20.1—25.1
	8	13.4	1.3	9.3	19.0	0.30	3.2	11.8	19.3—24.1
30									

$$V = [W_-(x)]_{\max} - W_-^*(P_0), \text{ где } x \text{ отсчитывается вдоль оптимального пути туннелирования.}$$

$$D_T = -C_{44} \frac{9\sqrt{3}}{2P_0} \frac{B'^2}{K} \eta^{3/2} \left(1 - \frac{4\Delta^2 K^2}{9B'^4 \eta^3} \right)^{1/2}, \quad (6)$$

где $\eta = (K^2 - B'^2)/(K^2 - 4B'^2)$, C_{44} — упругая постоянная GaAs. Оценки D_T на основании (6) с использованием экспериментального значения $P_0 = 4.5 \pm 0.5$ кбар [7, 8] приведены в таблице.

С другой стороны, в соответствии с представлениями, развитыми в работах [2, 5], можно ожидать, что константа деформационного потенциала D_T акцептора CuGa, связывающего две дырки, по абсолютной величине не превышает удвоенного значения соответствующей константы для v -зоны $D_v = -5.4$ эВ [9]. Кроме того, для ряда акцепторов в GaAs отношение констант деформационного потенциала B_T и D_T в исходном состоянии, не искаженном внутрицентровыми взаимодействиями, примерно равно отношению соответствующих констант для v -зоны. Эти соображения позволяют более точно оценить ожидаемую величину D_T для CuGa. Воспользовавшись значениями D_v , B_v [9] и B_T , определенным в [5] независимым

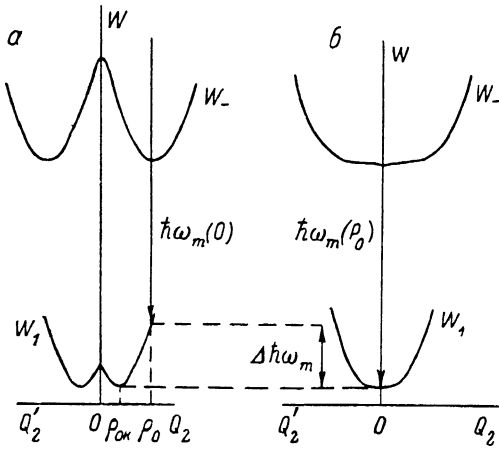


Рис. 4. Схематическое изображение АП и излучательных электронных переходов в случае давления вдоль оси [111], демонстрирующее возникновение скачка в спектральном положении полосы ФЛ. $P=0$ (a), $P=P_0$ (б).

На рисунке не показан относительный энергетический сдвиг с давлением АП начального и конечного состояний.

способом, можно получить, что величина D_T должна быть равна $-(7 \div 9)$ эВ. Сопоставление этого значения с результатами вычислений, приведенными в таблице, показывают, что наиболее вероятными значениями параметров CuGa являются величины, соответствующие $E_{\text{ят}}^0 = 12 \div 16$ мэВ при $\Delta \leqslant 0.3 E_{\text{ят}}^0$.

2. Рассмотрим теперь величину скачка в положении пика примесной фотолюминесценции при повышении давления вдоль оси [111] [7], связанного с подавлением эффекта Яна—Теллера.

Согласно качественному рассмотрению, проведенному в [7], эта величина $\Delta \hbar \omega_m$ приблизительно равна упругой энергии центра, захватившего один электрон (т. е. связывающего одну дырку), если его искажение равно статическому искажению центра до захвата электрона. В условиях заметной нелинейности ян-теллеровского взаимодействия связанных дырок с E -колебаниями эта энергия может заметно отличаться от $E_{\text{ят}}$, так как эффективная упругость центра в конечном состоянии, связывающем одну дырку, отличается от эффективной упругости начального состояния (рис. 4).

Воспользуемся приближением, предполагающим, что исходные коэффициенты упругости K центра в начальном и конечном состояниях одинаковы, а константы взаимодействия с E -колебаниями в конечном состоянии b'_k и b''_k отличаются от соответствующих констант в начальном состоянии B' и B'' в одно и то же число раз α . Если подавление эффекта Яна—Теллера в начальном и конечном состояниях происходит приблизительно при одной и той же величине деформации, то, используя приближенные соотношения между параметрами центра и радиусами, описывающими положения минимумов АП начального и конечного состояний в плоскости Q_2, Q_3 , получим из рис. 4

$$\frac{\Delta \hbar \omega_m}{E_{\text{ЯТ}}^0} \simeq \frac{K - |2B''|}{K - |2B''|} \left[1 - \frac{\alpha(K - |2B''|)}{K - |2B''|} \right]^2. \quad (7)$$

Для экспериментальной величины $\Delta \hbar \omega_m \simeq 10$ мэВ [7] и параметров центра, приведенных в таблице, выражение (7) дает $\alpha = 0.5 \div 0.7$. Смещение положения минимумов АП в конечном состоянии из точки Q_2 , $Q_3 = 0$ при этом лежит в пределах $0.09 \div 0.15$ Å. Полученное значение α согласуется с предположением, что различие констант взаимодействия с E -модой колебаний в начальном и конечном состояниях обусловлено главным образом уменьшением числа связанных на центре дырок. Оценки параметров АП конечного состояния с использованием найденной величины α показывают, что статический эффект Яна—Теллера в этом состоянии отсутствует. Это согласуется с данными работы [10] и предположением о разориентации центра после захвата электрона в случае слабых давлений вдоль оси [100], сделанным для CuGa при интерпретации результатов измерений в работе [4].

Из приведенного выше следует, что величина скачка в положении линии фотолюминесценции CuGa при $P \parallel [111]$ может быть объяснена непротиворечивым образом в рамках рассматриваемой модели.

3. Обсудим изменение ширины линии фотолюминесценции с температурой T . Хотя рассматриваемые нами колебания атомов примесного комплекса CuGa4As описываются двумя обобщенными координатами, при не слишком высоких температурах, не делая больших ошибок, для оценки эффективных коэффициентов упругости можно воспользоваться простой моделью одномерных гармонических колебаний вдоль обобщенной координаты Q_2 при сильном электрон-фононном взаимодействии. Причины этого состоят в следующем. Во-первых, положения минимумов АП центра в начальном CuGa и конечном CuGa состояниях в рассматриваемой нами модели смешены относительно друг друга только вдоль оси Q_2 . В силу этого ширина линии излучения при $T \rightarrow 0$ определяется в основном изменением АП вдоль этой оси. Во-вторых, направлению оси Q_2 соответствует наименьший эффективный коэффициент упругости системы, в силу чего при низких T возбуждаются в основном колебания вдоль этой оси.

Выражения, связывающие эффективные коэффициенты упругости в начальном K_e и конечном K_f состояниях с шириной линии излучения для линейного гармонического осциллятора в случае сильной релаксации примесного комплекса при электронном переходе, имеют вид [11]

$$K_e = M \left(\frac{2k}{\hbar} \right) \left[\frac{\delta_{1/2}(0)}{\beta} \right]^4, \quad K_f = \sqrt{\frac{K_e}{2k \ln 2}} \frac{\beta}{r_0}, \quad (8), (9)$$

где k — постоянная Больцмана; r_0 — расстояние между положением минимумов АП в начальном и конечном состояниях ($r_0 = r_0 - r_{0k}$); $\delta_{1/2}(0)$ — половина ширины линии излучения на уровне $1/2$ от максимальной интенсивности в пределе низких температур; β — тангенс угла наклона зависимости $\delta_{1/2}(\sqrt{T})$ в пределе высоких температур.

На рис. 5 приведена экспериментальная температурная зависимость коротковолновой части полуширины полосы фотолюминесценции, сопровождающей излучательный захват электрона центром CuGa, $\delta_{1/2}(\sqrt{T})$. Эта часть в низкотемпературной области не испытывает влияния наложения фононных повторений, связанных с оптическим фононом, имеющим энергию 36 мэВ. Согласно рассмотренным выше представлениям о колебаниях системы и теории для линейного осциллятора [11], для оценки β может быть использована величина тангенса угла наклона прямой, проходящей через начало координат и касающейся экспериментальной зависимости $\delta_{1/2}(\sqrt{T})$ (рис. 5) (отклонения экспериментальных точек при высоких температурах от этой касательной связано с возбуждением локальных колебаний с более высокой энергией фононов).

Использование в (8), (9) экспериментальных значений $\delta_{1/2}(0)$ и вычисленных величин r_0 и r_{0k} дает $K_e \simeq 4.8 \cdot 10^{15}$, $K_f = (3.8 \div 4.7) \times$

$\times 10^{15}$ эВ/см² для $E_{\text{ят}}^0 = 12 \div 16$ мэВ. Учитывая отмеченные выше приближения, можно заключить, что полученные значения достаточно хорошо согласуются с величинами эффективных коэффициентов упругости для начального $K - |2B''|$ и конечного $K - |2\alpha B''|$ состояний центра (см. таблицу).

4. Отметим также, что в рассматриваемой нами модели АП уменьшение при возрастании ϵ_1 степени разориентации центров CuGa после рекомбинации через них электронно-дырочных пар и быстрой релаксации в один из минимумов АП W_- (т. е. наблюдавшееся в [4] увеличение введенного в [4] параметра A) может определяться двумя механизмами. Во-первых, изменение АП в состояниях CuGa и CuGa с деформацией приводит к выстраиванию центров в состоянии CuGa и увеличению вероятности попадания центра в абсолютный минимум АП CuGa непосредственно в результате процессов захвата дырки и быстрой релаксации, если этот захват происходит

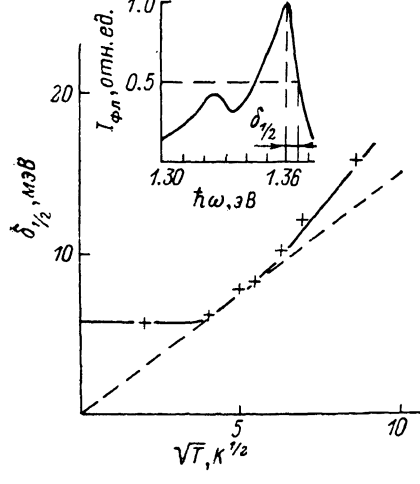


Рис. 5. Температурная зависимость коротковолновой части полуширины основного пика ФЛ.

На вставке — спектр ФЛ при температуре 2 К.

дит излучательно. Во-вторых, уменьшение τ с ростом ϵ_1 при больших ϵ_1 может стать более быстрым, чем в рассмотренной нами простейшей модели туннельных переходов. Одной из причин такого поведения может быть резкое увеличение вероятности термоактивационного преодоления барьера, вызванное его понижением при увеличении ϵ_1 . Сравнимость τ со временем быстрой релаксации системы внутри отдельного минимума АП означает, что введенный в [4] при феноменологическом описании процесса установления термического равновесия в центре CuGa параметр A равен 1.

Как показывают оценки, использующие определенные выше параметры АП CuGa и CuGa, первый механизм может вызвать медленное возрастание A при $\epsilon_1 = 0 \div 1 \cdot 10^{-3}$, а второй быть причиной быстрого увеличения A до 1 при $\epsilon_1 > 10^{-3}$. Такое поведение A и наблюдалось экспериментально [4].

4. Обсуждение результатов

Проведенный выше анализ показывает, что при температурах ~ 2 К переориентация комплекса CuGa₄As в GaAs происходит за счет туннельного эффекта. Высота барьера, разделяющего три эквивалентные ориентации комплекса, соответствующие трем возможным направлениям оси $\langle 100 \rangle$ в кристалле, при $P=0$ составляет ~ 10 мэВ, а ширина барьера в пространстве обобщенных координат Q_2, Q_3 равна нескольким десятым ангстрема. Величины параметров центра, удовлетворяющие экспериментальным данным, приведены в таблице (для $E_{\text{ят}}^0 = 12 \div 16$ мэВ). При этом

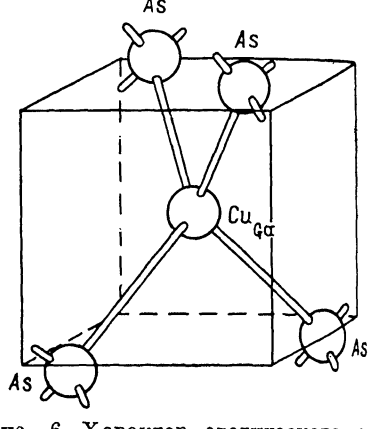


Рис. 6. Характер статического искаемого центра CuGa₄As.

величина статического искажения комплекса в пространстве обобщенных координат приблизительно равна $0.30\text{--}0.37 \text{ \AA}$. Согласно выбору обобщенных координат [6], это означает, что ближайшие к Cu_{Ga} атомы As сдвинуты из узлов решетки на $\sim 0.15 \text{ \AA}$ (рис. 6). Такая величина представляется разумной и наблюдалась для других ян-теллеровских центров в кубических кристаллах [12].

Строго говоря, рассматривая исследуемый центр Cu_{Ga} как комплекс $\text{Cu}_{\text{Ga}}4\text{As}$, мы пренебрегаем влиянием смещения атомов решетки, находящихся за пределами первой координационной сферы. Эффективный учет этого влияния может увеличить массу туннелирующей системы по сравнению с принятой при расчете ($4M_{\text{As}}$) и соответственно изменить определяемые аппроксимацией экспериментальных данных параметры АП центра. Однако смещение атомов кристалла сильно падает с увеличением расстояния от точечного источника деформации.¹ В частности, в случае центра As в Si смещение атомов Si, ближайших к деформированному примесному комплексу, не превышало 10 % от смещения атомов самого комплекса [14]. Подобное соотношение смещений предполагалось и для A-центра в Si [15]. Относительная малость смещений атомов решетки вне комплекса примесь $+/-$ ближайшее окружение приводит к тому, что эффективная масса туннелирующей системы незначительно превышает массу сдвигающихся атомов комплекса.

Для определения возможного изменения параметров АП, связанного с увеличением массы туннелирующей системы, мы провели аппроксимацию экспериментальной зависимости $\tau = \tau(\epsilon)$ при $M = 8M_{\text{As}}$ (эта величина превосходит возможное увеличение M , оцениваемое с использованием приведенных выше величин смещений). Полученные таким образом значения параметров по-прежнему согласовались с данными других измерений и оценок. Величина ρ_0 уменьшалась в ~ 1.5 раза по сравнению с приведенной в таблице. Высота барьера для туннелирования оставалась $\sim 10 \text{ мэВ}$.

Сказанное позволяет заключить, что феноменологическая модель изолированного комплекса $\text{Cu}_{\text{Ga}}4\text{As}$ тетрагональной симметрии удовлетворительно объясняет динамические характеристики центра Cu_{Ga} в GaAs и их поведение при одноосном давлении. Значения параметров этой модели в простейшем случае, учитывая только линейное и квадратичное взаимодействия связанных на центре дырок с квазилокальными E -колебаниями, найденные из рассмотрения экспериментальных данных о скорости переориентации комплекса, находятся в разумном согласии с величинами, ожидаемыми из зависимости фотолюминесценции центра от давления и температуры. Это свидетельствует о близости рассчитанных АП центра к реальным. Отметим, что особенностью этих потенциалов является сравнимость величин энергии ян-теллеровской стабилизации с высотой потенциального барьера, разделяющего эквивалентные ориентации центра.

В заключение авторы выражают благодарность Д. И. Ковалеву и А. Ю. Бланку за измерения спектров фотолюминесценции при температурах 16—50 K.

Список литературы

- [1] Аверкиев Н. С., Гуткин А. А., Меркулов И. А. // Изв. АН СССР, сер. физ. 1988. Т. 52. № 3. С. 482—485.
- [2] Аверкиев Н. С., Гуткин А. А., Осипов Е. Б., Седов В. Е. // ФТП. 1987. Т. 21. № 3. С. 415—420.
- [3] Averkiev N. S., Gutkin A. A., Merkulov I. A., Osipov E. B., Sedov V. E. // Proc. XIX Int. Conf. on the Physics of Semicond. Warsaw, Poland, 1988; Inst. of Phys. Polish Acad. Sci. 1988. V. 2. P. 1075—1078.
- [4] Аверкиев Н. С., Гуткин А. А., Осипов Е. Б., Седов В. Е., Цацульников А. Ф. // ФТП. 1988. Т. 30. № 5. С. 1459—1465.

¹ В изотропной среде на больших расстояниях r от источника деформации смещение пропорционально r^{-5} [13].

- [5] Аверкиев Н. С., Адамия З. А., Аладашвили Д. И., Аширов Т. К., Гуткин А. А., Осипов Е. Б., Седов В. Е. // ФТП. 1987. Т. 21. № 3. С. 421—426.
- [6] Берсукер И. Б. Электронное строение и свойства координационных соединений. Введение в теорию. Л., 1986. 288 с.
- [7] Аверкиев Н. С., Аширов Т. К., Гуткин А. А. // ФТП. 1968. Т. 17. № 1. С. 97—102.
- [8] Аверкиев Н. С., Аширов Т. К., Гуткин А. А. // ФТТ. 1982. Т. 24. № 7. С. 2046—2051.
- [9] Bhargava R. N., Nathan M. I. // Phys. Rev. 1967. V. 161. N 3. P. 695—698.
- [10] Аширов Т. К., Гуткин А. А. // ФТП. 1983. Т. 17. № 3. С. 418—421.
- [11] Klick C. C., Schulman J. H. // Sol. St. Phys. Advances in Res. and Appl. 1957. V. 5. P. 97—172.
- [12] Сочава Л. С., Толпаров Ю. Н., Ковалев Н. Н. // ФТТ. 1975. Т. 17. № 1. С. 217—226.
- [13] Ландау Л. Д., Лифшиц Е. М. Теория упругости. М., 1965. 202 с.
- [14] Erbil A., Weber W., Cargill G. S., Boehme R. F. // Phys. Rev. B. 1986. V. 34. N 2. P. 1392—1394.
- [15] Samara G. A. // Phys. Rev. B. 1987. V. 36. N 9. P. 4841—4848.

Физико-технический институт
им. А. Ф. Иоффе АН СССР
Ленинград

Поступило в Редакцию
10 марта 1990 г.
